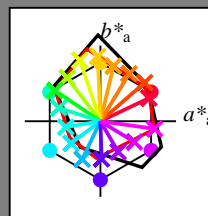


## Entrée et sortie: Système Laser Reflective LRS18a

Données de couleurs périphériques (d)  
ou élémentaires (e): $HIC^*_e$ code de teinte pour les cou-  
leurs de cette page: $H^*_e = R00Y_e, R25Y_e, \dots, B75R_e$ 

## LRS18a; données CIELAB (a) adaptées

| $H^*_e$        | $L^*=L^*_a a^*_a$ | $b^*_a$ | $C^*_{ab,a}$ | $h^*_{ab,a}$ |
|----------------|-------------------|---------|--------------|--------------|
| R00Y_100_100_e | 48.3              | 64.2    | 30.6         | 71.1         |
| R25Y_100_100_e | 50.5              | 58.6    | 51.1         | 77.8         |
| R50Y_100_100_e | 61.1              | 37.8    | 62.8         | 73.3         |
| R75Y_100_100_e | 72.1              | 17.1    | 72.8         | 74.8         |
| Y00G_100_100_e | 84.3              | -3.4    | 85.8         | 85.9         |
| Y25G_100_100_e | 84.0              | -27.1   | 80.6         | 85.0         |
| Y50G_100_100_e | 69.4              | -43.7   | 57.5         | 72.3         |
| Y75G_100_100_e | 58.2              | -60.0   | 40.6         | 72.5         |
| G00B_100_100_e | 58.4              | -54.9   | 17.6         | 57.7         |
| G25B_100_100_e | 59.0              | -45.6   | -7.7         | 46.3         |
| G50B_100_100_e | 55.3              | -38.8   | -29.2        | 48.5         |
| G75B_100_100_e | 52.2              | -24.1   | -50.2        | 55.7         |
| B00R_100_100_e | 38.0              | 1.5     | -49.8        | 49.8         |
| B25R_100_100_e | 38.4              | 23.5    | -40.4        | 46.8         |
| B50R_100_100_e | 44.8              | 45.0    | -27.4        | 52.7         |
| B75R_100_100_e | 49.8              | 71.7    | -9.9         | 72.3         |



%Gamme

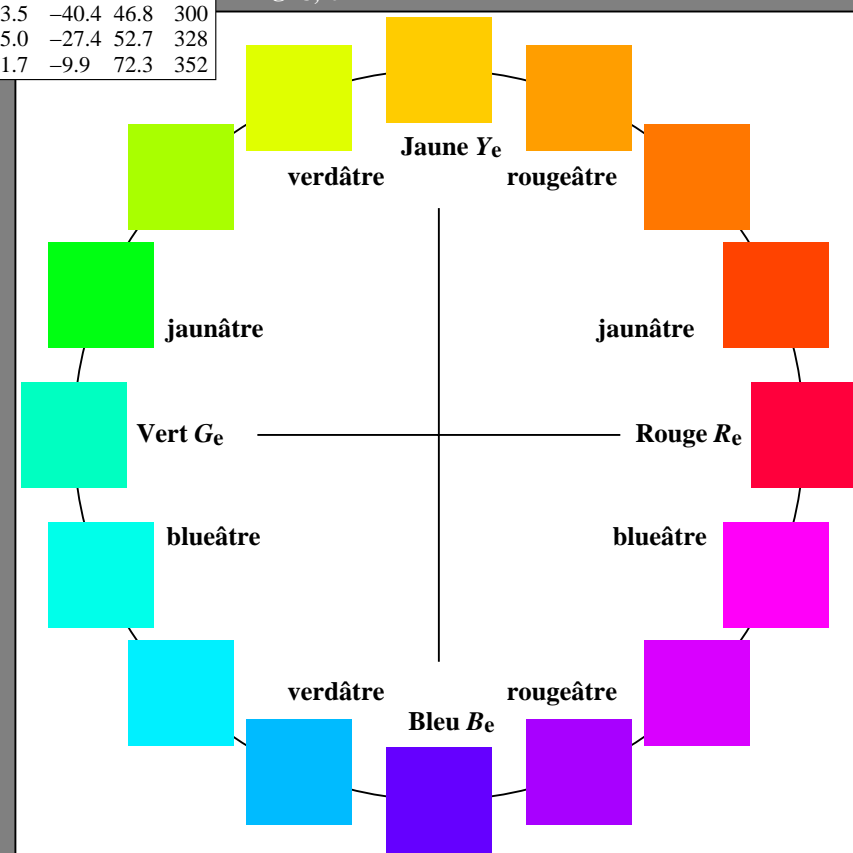
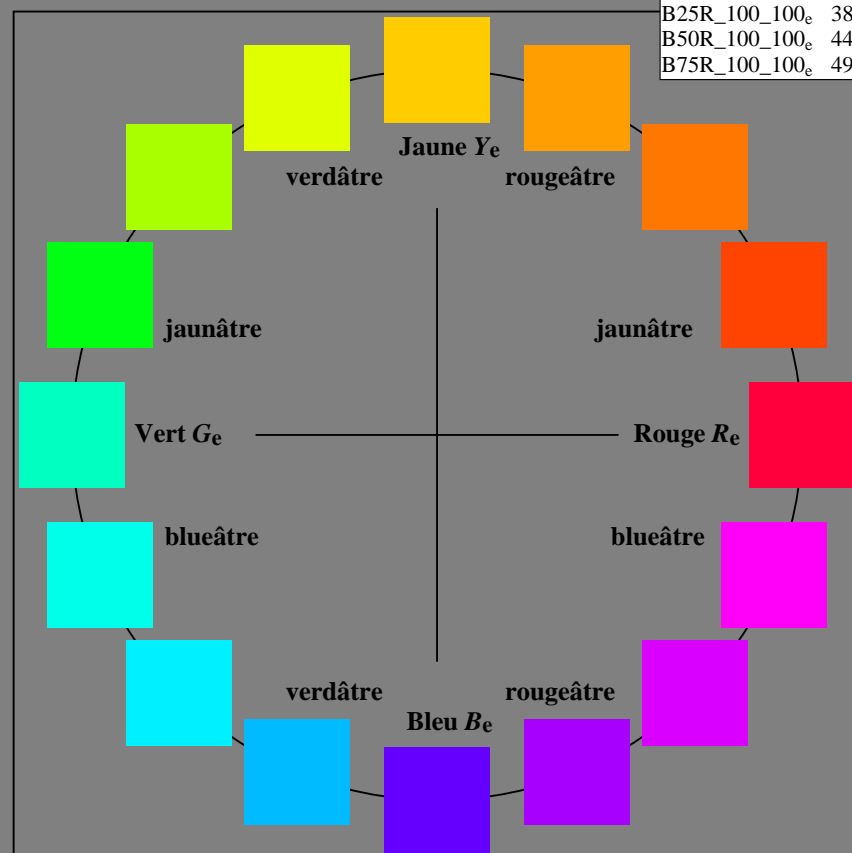
 $u^*_{rel} = 114$ 

%Régularité

 $g^*_{H,rel} = 28$  $g^*_{C,rel} = 38$ 

## LRS18a; données CIELAB (a) adaptées

| nom        | $L^*=L^*_a a^*_a$ | $b^*_a$ | $C^*_{ab,a}$ | $h^*_{ab,a}$ |
|------------|-------------------|---------|--------------|--------------|
| $R_e, Ma$  | 48.3              | 64.2    | 30.6         | 71.1         |
| $Y_e, Ma$  | 84.3              | -3.4    | 85.8         | 85.9         |
| $G_e, Ma$  | 58.4              | -54.9   | 17.6         | 57.7         |
| $C_e, Ma$  | 55.3              | -38.8   | -29.2        | 48.5         |
| $B_e, Ma$  | 38.0              | 1.5     | -49.8        | 49.8         |
| $M_e, Ma$  | 44.8              | 45.0    | -27.4        | 52.7         |
| $N_e, Ma$  | 15.7              | 0.0     | 0.0          | 0            |
| $W_e, Ma$  | 96.3              | 0.0     | 0.0          | 0            |
| $R_e, CIE$ | 39.9              | 58.7    | 27.9         | 65.0         |
| $Y_e, CIE$ | 81.2              | -2.8    | 71.5         | 71.6         |
| $G_e, CIE$ | 52.2              | -42.4   | 13.6         | 44.5         |
| $B_e, CIE$ | 30.5              | 1.4     | -46.4        | 46.4         |

voir fichiers similaires: <http://130.149.60.45/~farbmetrik/RF80/RF80L0NP.PDF> / .PS  
informations techniques: <http://www.ps.bam.de> ou <http://130.149.60.45/~farbmetrik>TUB enregistrement: 20150701-RF80/RF80L0NP.PDF /.PS  
application pour la mesure des sorties sur imprimante laser, aucune séparation rgb (RGB)  
TUB matériel: code=th44ta

RF800-71

3-013134-L0

graphique TUB-RF80; cercle de teinte, 16 étapes,  $cf=1$   
graphique conforme à DIN 33872, 3D=0,  $de=1$ ,  $rgb$ entrée :  $rgb/cmyk \rightarrow rgb_e$   
sortie : transférer à  $rgb_e$ 

3-013134-F0